

давления p' в этом режиме зависят от времени релаксации матрицы и относительных размеров «окна».

На фиг. 3 приведены кривые зависимости давления p' от безразмерного времени для замкнутого пласта. Сплошные линии I—III соответствуют упругому решению при значениях $\rho' = 10^{-4}; 10^{-3}; 10^{-2}$. Для сравнения даны две штриховые кривые, соответствующие упругому локальному решению при $\Phi(\xi_i h) = 0$. В упругом пласте процесс не выходит на установившийся режим, а влияние контура пласта вызывает неограниченный рост давления $\langle p' \rangle$, необходимого для сохранения постоянного дебита. Кривые I—3 соответствуют вязкоупругому решению (5.4) при $\theta' = 2 \cdot 10^3; 2 \cdot 10^5; 2 \cdot 10^7$.

Зависимость безразмерного давления на трещине от значений вязкости матрицы пласта и радиуса трещины в вязкоупругих решениях (5.1), (5.4) одинаковая. Чем меньше вязкость матрицы пласта и чем больше радиус трещины, тем быстрее наступает установившийся режим и тем меньше изменение давления при этом.

Выбор оптимальных параметров «окна» и условий отбора тем самым связан с релаксационными параметрами матрицы деформируемого пласта.

Авторы признательны Э. А. Бондареву за внимание к работе.

Поступила 8 VI 1982

ЛИТЕРАТУРА

1. Николаевский В. Н., Басниев К. С. и др. Механика насыщенных пористых сред. М.: Недра, 1970.
2. Fast C. R., Holman G. B., Covlin R. The application of massive hydraulic fracturing to the tight Muddy «J» formation. Watteberg field, Colorado.— J. Petrol. Technol., 1977, vol. 29, p. 10.
3. Снеддон И. Преобразования Фурье. М.: ИЛ, 1955.
4. Грей Э., Мэтьюз Г. Б. Функции Бесселя и их приложения к физике и механике. М.: ИЛ, 1955.
5. Николаевский В. Н. Приток жидкости к горизонтальной трещине в пласте.— Изв. АН СССР. ОТН, 1958, № 7.
6. Кристенсен Р. Введение в теорию вязкоупругости. М.: Мир, 1974.
7. Работнов Ю. Н. Элементы наследственной механики твердых тел. М.: Наука, 1977.

УДК 538,4 : 538.665

ТЕЧЕНИЕ НАМАГНИЧИВАЮЩЕЙСЯ ЖИДКОСТИ ПРИ ТЕМПЕРАТУРЕ, БЛИЗКОЙ К ТОЧКЕ КЮРИ

B. И. Вишняков, И. Ф. Султанов, И. А. Федотов

(Москва)

В настоящее время намагничивающиеся жидкости находят широкое применение в различных областях теплоэнергетики. Такие жидкости успешно могут выполнять роль теплоносителя в тех случаях, где применение обычных жидкостей связано с дополнительными устройствами и энергетическими затратами, например в условиях невесомости. Возможность применения намагничивающихся жидкостей в качестве рабочего тела ФГД-генератора [1] открывает новые широкие перспективы прямого преобразования тепловой энергии в электрическую. Эффективность работы теплообменных аппаратов и энергетических установок в значительной степени определяется рабочей температурой намагничивающейся жидкости. Наибольший энергетический эффект во многих случаях достигается при температуре, близкой к точке Кюри [1]. Однако вблизи этой температуры намагничивающиеся жидкости частично теряют свои магнитные свойства, что, естественно, отражается на характере течения. Кроме того, на характер течения будет оказывать влияние и магнетокалорический эффект, который в этом случае максимален [2]. Отметим, что хотя это и слабый эффект, тем не менее вызванное им перераспределение температуры по сечению канала в установившемся режиме оказывается существенным.

Ниже рассмотрено неизотермическое стационарное течение непроводящей и несжимаемой намагничивающейся жидкости в плоском канале, находящейся при температуре, близкой к точке Кюри. Считаем, что жидкость намагнечена до насыщения сильным внешним магнитным полем напряженности H , направленным поперек канала. Вслед-

ствие этого объемную магнитную силу в уравнении движения можно записать в виде $\mu_0 M \nabla H$ [3], где $M = M(T)$ — объемная намагниченность, μ_0 — магнитная постоянная. Дополнительно предполагается наличие постоянных источников тепла Q , равномерно распределенных по всему объему жидкости.

Пусть в плоском канале шириной $2D$ происходит движение намагничающейся жидкости под действием градиента внешнего магнитного поля G , направленного вдоль канала. Температура стенок канала T_0 поддерживается постоянной и близкой к точке Кюри. Тогда соответствующую систему уравнений движения и теплопроводности намагничающейся жидкости [3, 4] можно записать в виде

$$(1) \quad \eta d^2U/dY^2 + \mu_0 MG = 0;$$

$$(2) \quad \lambda d^2T/dY^2 + \mu_0 T_0 \Lambda G U + Q = 0,$$

где U — X -проекция вектора скорости; T — температура; $G = -\partial H/\partial X = \text{const}$; $\Lambda = -(\partial M/\partial T)_{\rho, H}$ — пиромагнитный коэффициент; ρ — плотность; λ и η — соответственно коэффициенты теплопроводности и динамической вязкости. Ось Y направлена перпендикулярно стенкам, а X — вдоль оси канала. Так как изменение температуры по сечению канала мало по сравнению с абсолютной температурой, то во втором члене уравнения (2), учитывающем магнетокалорический эффект, считаем, что $T = T_0$. Границные условия физически очевидны:

$$(3) \quad U = 0, \quad T = T_0 \text{ при } Y = \pm D.$$

Характер решения поставленной краевой задачи (1)–(3) зависит от вида функции $M = M(T)$. Обычно при решении подобных задач выбирают такие участки $M = M(T)$, чтобы во всей рассматриваемой области изменения температуры можно было бы считать либо $M = \text{const}$, либо принять, что величина M — линейная функция температуры [3–5]. При температуре, близкой к точке Кюри, такие допущения несправедливы, поскольку вблизи этой точки зависимость $M = M(T)$ имеет явно выраженный нелинейный характер. Причем при больших напряженностях внешнего магнитного поля объемная намагниченность с увеличением температуры асимптотически стремится к нулю [2]. Как следствие возникает необходимость учета реальной зависимости $M = M(T)$, а это создает определенные трудности при решении задачи, связанные со значительным математическим усложнением задачи и необходимостью ее привязки к конкретной намагничающейся жидкости. Однако в некоторых случаях решение поставленной задачи можно значительно упростить, аппроксимировав характерную реальную кривую более простой. В нашем рассмотрении кривая $M = M(T)$ аппроксимировалась двумя прямыми. На фиг. 1 кривая $M = M(T)$ показана штриховой линией, а аппроксимирующие прямые — сплошной. Ниже будет показано, когда справедлива такая аппроксимация.

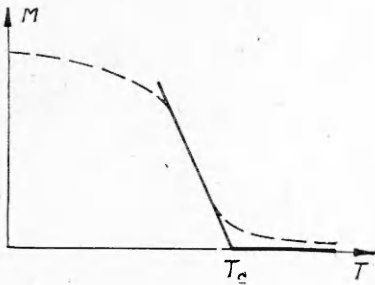
Итак, предполагается, что искомая зависимость $M = M(T)$ описывается функцией $M = \Lambda(T_c - T)$, где T_c — температура точки Кюри. Дальнейшее решение задачи будем строить отдельно для области температуры ниже точки Кюри, где $M > 0$, и равной или выше, где $M = 0$. Выберем в качестве характеристических величин длину D , температуру $(T_c - T_0)$ и скорость $(T_c - T_0) \sqrt{\lambda/\eta T_0}$. Тогда исходную систему уравнений (1), (2) для соответствующих температурных областей можно записать в следующей безразмерной форме:

$$(4) \quad d^2u_1/dy^2 + 2k^2(1 - \theta_1) = 0, \quad d^2\theta_1/dy^2 + 2k^2u_1 + q = 0 \text{ при } T < T_c;$$

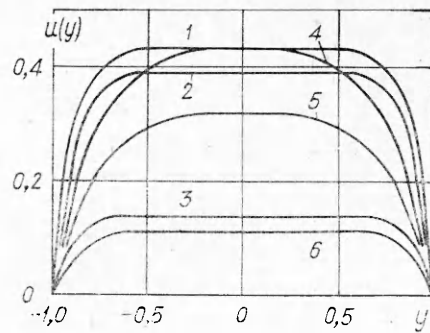
$$(5) \quad d^2u_2/dy^2 = 0, \quad d^2\theta_2/dy^2 + q = 0 \text{ при } T \geq T_c,$$

где $\theta_{1,2} = (T - T_0)/(T_c - T_0)$; $q = D^2Q/(\lambda(T_c - T_0))$; $2k^2 = \mu_0 \Lambda G D^2 \sqrt{T_0/\eta \lambda}$, $k > 0$. Границные условия (3) примут вид

$$(6) \quad u_1 = \theta_1 = 0 \text{ при } y = \pm 1.$$



Ф и г. 1



Ф и г. 2

Решая систему уравнений (4) с граничными условиями (6), найдем

$$(7) \quad u_1 = \frac{(2k^2 \operatorname{sh} k \sin k + q \operatorname{ch} k \cos k) \operatorname{ch} ky \cos ky}{2k^2 (\operatorname{sh}^2 k + \cos^2 k)} \rightarrow$$

$$\rightarrow -\frac{(2k^2 \operatorname{ch} k \cos k - q \operatorname{sh} k \sin k) \operatorname{sh} ky \sin ky}{2k^2} - \frac{q}{2k^2},$$

$$\theta_1 = 1 - \frac{(2k^2 \operatorname{sh} k \sin k + q \operatorname{ch} k \cos k) \operatorname{sh} ky \sin ky}{2k^2 (\operatorname{sh}^2 k + \cos^2 k)} \rightarrow$$

$$\rightarrow +\frac{(2k^2 \operatorname{ch} k \cos k - q \operatorname{sh} k \sin k) \operatorname{ch} ky \cos ky}{2k^2}.$$

Отметим, что полученное решение (7) справедливо при $q < 2$ и $k < k_0$, где значение $k_0 (0 < k_0 \leq \pi/2)$ находим из трансцендентного уравнения $2k^2 \operatorname{ch} k_0 \cos k_0 = q \operatorname{sh} k_0 \sin k_0$. При $k = k_0$ в центре канала температура достигает точки Кюри и дальнейшее увеличение параметра k приводит к тому, что за счет магнетокалорического эффекта точка Кюри достигается более удаленными от центра канала слоями жидкости. В результате некоторая область канала $-y_0 < y < y_0$ окажется нагретой выше температуры Кюри.

Решение задачи при $q < 2$, $k \geq k_0$ и при $q \geq 2$ в силу симметрии относительно центра канала удобно проводить в области $0 \leq y \leq 1$, воспользовавшись системой (4), (5). Запишем необходимые граничные условия: $du_2/dy = d\theta_2/dy = 0$ при $y = 0$, $u_1 = \theta_1 = 0$ при $y = 1$. Кроме того, при $y = y_0$ необходимо потребовать, чтобы

$$u_1 = u_2, \quad \theta_1 = \theta_2 = 1, \quad du_1/dy = du_2/dy, \quad d\theta_1/dy = d\theta_2/dy.$$

В итоге получим $y_0 = 1 - a/k$,

$$u_2 = \frac{1 - \operatorname{ch} a \cos a + (k - a)(\operatorname{ch} a \sin a - \operatorname{sh} a \cos a)}{\operatorname{sh} a \sin a + (k - a)(\operatorname{sh} a \operatorname{ch} a + \operatorname{sin} a \cos a)},$$

$$\theta_2 = 1 + \frac{q}{2} (y_0^2 - y^2),$$

где $a (0 < a < \pi/2, a < k)$ находим из трансцендентного уравнения $2k^2 \operatorname{ch} a \cos a = q[\operatorname{sh} a \sin a + (k - a)(\operatorname{sh} a \operatorname{ch} a + \operatorname{sin} a \cos a)]$,

$$u_1 = a_1 \operatorname{sh} ky \sin ky + a_2 \operatorname{ch} ky \sin ky + a_3 \operatorname{sh} ky \cos ky + a_4 \operatorname{ch} ky \times$$

$$\times \cos ky - q/2k^2,$$

$$\theta_1 = 1 + a_1 \operatorname{ch} ky \cos ky + a_2 \operatorname{sh} ky \cos ky - a_3 \operatorname{ch} ky \sin ky -$$

$$- a_4 \operatorname{sh} ky \sin ky,$$

где $a_1 = -\alpha \operatorname{sh} ky_0 \sin ky_0 + \beta(\operatorname{ch} ky_0 \sin ky_0 + \operatorname{sh} ky_0 \cos ky_0)$;

$a_2 = \alpha \operatorname{ch} ky_0 \sin ky_0 - \beta(\operatorname{ch} ky_0 \cos ky_0 + \operatorname{sh} ky_0 \sin ky_0)$;

$a_3 = -\alpha \operatorname{sh} ky_0 \cos ky_0 + \beta(\operatorname{ch} ky_0 \cos ky_0 - \operatorname{sh} ky_0 \sin ky_0)$;

$a_4 = \alpha \operatorname{ch} ky_0 \cos ky_0 + \beta(\operatorname{ch} ky_0 \sin ky_0 - \operatorname{sh} ky_0 \cos ky_0)$;

$\alpha = u_2 + q/2k^2$; $\beta = y_0 q/2k$.

В частном случае при $q = 0$ получаем $y_0 = 1 - \pi/2k$,

$$u_2 = 1/\text{sh}(\pi/2), \quad \theta_2 = 1, \quad u_1 = \text{ch}(k - ky - \pi/2) \sin(k - ky)/\text{sh}(\pi/2), \\ \theta_1 = 1 - \text{sh}(\pi/2 - k + ky) \cos(k - ky)/\text{sh}(\pi/2).$$

Отсюда видно, что в центре канала появляется область, размер которой зависит от k и q , где жидкость движется с постоянной по сечению канала скоростью. На фиг. 2 представлены безразмерные профили скорости $u(y)$ для различных значений k и q ($k = \pi, q = 0; 1; 3$ — кривые 1—3, $k = \pi/2, q = 0; 1; 3$ — кривые 4—6).

Нам остается показать, в каких случаях полученный результат не будет существенно зависеть от вида аппроксимирующей функции. Для этого проведем оценку исходной краевой задачи в пространстве Соболева $W_2^{(1)}$. Запишем систему уравнений (4), (5) и граничные условия (6) в виде

$$(8) \quad d^2u/dy^2 = -F_1(\theta);$$

$$(9) \quad d^2\theta/dy^2 = -F_2(u, \theta);$$

$$(10) \quad u = \theta = 0 \text{ при } y = \pm 1,$$

$$\text{где } F_1(\theta) = \begin{cases} 2k^2(1-\theta), & \theta < 1, \\ 0, & \theta \geq 1, \end{cases} \quad F_2(u, \theta) = \begin{cases} 2k^2u + q, & \theta < 1, \\ q, & \theta \geq 1. \end{cases}$$

Умножим обе части равенства (8) на u , а (9) — на θ и, проинтегрировав по y с учетом граничных условий (10), получим

$$\int_{-1}^1 \left(\frac{du}{dy} \right)^2 dy = \int_{-1}^1 u F_1(\theta) dy, \quad \int_{-1}^1 \left(\frac{d\theta}{dy} \right)^2 dy = \int_{-1}^1 \theta F_2(u, \theta) dy.$$

В силу известного неравенства Фридрихса [6] имеем

$$\int_{-1}^1 u^2 dy \leq c_1 \int_{-1}^1 \left(\frac{du}{dy} \right)^2 dy,$$

где $c_1 \geq 0$ — некоторая константа. Отсюда следует

$$\|u\|_1^2 \leq (1 + c_1) \int_{-1}^1 u F_1(\theta) dy$$

и аналогично

$$\|\theta\|_1^2 \leq (1 + c_1) \int_{-1}^1 \theta F_2(u, \theta) dy,$$

где через $\|\cdot\|_1$ обозначена норма в пространстве $W_2^{(1)}$. В итоге получим

$$\|u\|_1^2 + \|\theta\|_1^2 \leq (1 + c_1) \left[\int_{-1}^1 u F_1(\theta) dy + \int_{-1}^1 \theta F_2(u, \theta) dy \right].$$

На основании полученного неравенства имеем

$$\|u\|_1^2 + \|\theta\|_1^2 \leq \frac{1}{2} \left[\int_{-1}^1 u^2 dy + \int_{-1}^1 \theta^2 dy \right] + \frac{(1 + c_1)^2}{2} \int_{-1}^1 [F_1^2(\theta) + F_2^2(u, \theta)] dy.$$

Отсюда следует искомая оценка

$$(11) \quad \|u\|_1^2 + \|\theta\|_1^2 \leq c (\|F_1\|_0^2 + \|F_2\|_0^2),$$

где $\|\cdot\|_0$ — норма в пространстве L_2 . Неравенство (11) позволяет показать, что решение поставленной задачи (8)—(10) устойчиво относительно малых возмущений правых частей $-F_1$ и $-F_2$.

Рассмотрим некоторую возмущенную задачу

$$d^2u_\varepsilon/dy^2 = -F_{1\varepsilon}(\theta_\varepsilon), \quad d^2\theta_\varepsilon/dy^2 = -F_{2\varepsilon}(u_\varepsilon, \theta_\varepsilon),$$

где $F_{ie} \rightarrow F_i$ при $\varepsilon \rightarrow 0$;

$$u_\varepsilon = \theta_\varepsilon = 0 \text{ при } y = \pm 1,$$

и наряду с ней исходную задачу (8)–(10). Обозначив $\omega = u_\varepsilon - u$ и $\tau = \theta_\varepsilon - \theta$, получим для разности задачу

$$(12) \quad d^2\omega/dy^2 = -[F_{1\varepsilon}(\theta_\varepsilon) - F_1(\theta)], \quad d^2\tau/dy^2 = -[F_{2\varepsilon}(u_\varepsilon, \theta_\varepsilon) - F_2(u, \theta)],$$
$$\omega = \tau = 0 \text{ при } y = \pm 1.$$

Применяя к задаче (12) оценку (11), получим

$$\|\omega\|_1^2 + \|\tau\|_1^2 \leq c \left[\int_{-1}^1 (F_{1\varepsilon} - F_1)^2 dy + \int_{-1}^1 (F_{2\varepsilon} - F_2)^2 dy \right],$$

откуда следует, что при ограниченных значениях параметра k исходная задача устойчива.

Таким образом, показано, что для течения при температуре, близкой к точке Кюри, характерной особенностью является возможность образования области жидкости (ядра потока), движущегося с постоянной по сечению канала скоростью. Естественно, что в реальном случае скорость жидкости не будет строго постоянной по всему сечению ядра.

В качестве примера при некоторых других, близких к реальным, видах аппроксимирующих функций кривой $M = M(T)$ проведены расчеты профилей скорости и температуры численным методом на ЭВМ. Как показали расчеты, при ограниченных значениях параметра k отличия в профилях скорости и температуры несущественны, что подтверждает справедливость проведенного рассмотрения.

Авторы выражают благодарность К. Б. Павлову за полезные обсуждения работы.

Поступила 26 V 1982

ЛИТЕРАТУРА

1. Блум Э. Я., Михайлов Ю. А., Озоле Р. Я. Тепло-и массообмен в магнитном поле. Рига: Зиннатне, 1980.
2. Бозорт Р. М. Ферромагнетизм. М.: ИЛ, 1956.
3. Neuringer J. L., Rosensweig R. E. Ferrohydrodynamics.— Phys. Fluids., 1964, vol. 7, N 12.
4. Баштовой В. Г., Берковский Б. М. Термомеханика ферромагнитных жидкостей.— Магнитная гидродинамика, 1973, № 3.
5. Зайцев В. М., Шлиомис М. И. К гидродинамике ферромагнитной жидкости.— ПМТФ, 1968, № 1.
6. Михлин С. Г. Курс математической физики. М.: Наука, 1968.

УДК 532.58

ИЗЛУЧЕНИЕ ВНУТРЕННИХ ВОЛН ПРИ ПЕРИОДИЧЕСКОМ ДВИЖЕНИИ ИСТОЧНИКОВ

B. A. Городцов, Э. В. Теодорович

(Москва)

Среди задач о волнах от движущихся источников все большее внимание привлекают задачи об излучении внутренних волн ускоренно движущимися источниками (см., например, [1, 2]). В данной работе рассмотрен вопрос о полной величине и спектральном распределении энергии излучения источниками массы, совершающими периодические движения. Метод рассмотрения и основные обозначения те же, что и в [3, 4]*.

1. Излучение волн при движении источника по винтовой линии. В однородно стратифицированной идеальной несжимаемой жидкости общее

* Прим. редколлегии. Другой способ расчета потерь энергии движущимися источниками, основанный на знании асимптотических амплитуд внутренних волн, указан в монографии Дж. Лайтхилла «Волны в жидкостях». М.: Мир, 1981.